

ДИЭЛЕКТРИЧЕСКИЕ СВОЙСТВА И ПРОВОДИМОСТЬ НА ПЕРЕМЕННОМ ТОКЕ МОНОКРИСТАЛЛОВ TlInS₂

© С.Н.Мустафаева, М.М.Асадов, В.А.Рамазанзаде

Центр методологии изобретательства,
Баку, Азербайджан
(Поступила в Редакцию 9 февраля 1995 г.)

В выращенных слоистых монокристаллах TlInS₂ изучены частотные зависимости тангенса угла диэлектрических потерь, диэлектрической проницаемости и электропроводности поперек слоев в диапазоне частот 10^3 – $3 \cdot 10^7$ Hz. Показано, что при частотах $f < 6.4 \cdot 10^5$ Hz $\operatorname{tg} \delta = 1.106f^{-0.5}$, а при $f > 10^6$ Hz $\operatorname{tg} \delta = 5.22 \cdot 10^{-8}f^{0.7}$. Диэлектрическая проницаемость образцов из TlInS₂ в указанной области частот изменялась от 9.56 до 13.1. В частотной области 10^3 – 10^5 Hz $\sigma \sim f^{0.5}$, в области 10^5 – 10^6 Hz наблюдался $f^{0.8}$ -закон для проводимости, при $f \geq 10$ Hz $\sigma \sim f^2$. Установлено, что поперек слоев монокристаллов TlInS₂ в переменных электрических полях частотой 10^5 – 10^6 Hz имеет место прыжковый механизм переноса заряда по состояниям, локализованным вблизи уровня Ферми. Оценены плотность состояний вблизи уровня Ферми $N_F = 6.5 \cdot 10^{18}$ eV⁻¹·cm⁻³, разброс ловушечных состояний $J \sim 4 \cdot 10^{-2}$ eV, среднее время прыжка $\tau = 2\text{ }\mu\text{s}$ и среднее расстояние прыжка $R = 117$ Å.

Монокристаллы TlInS₂, имеющие слоистую структуру и описываемые пространственной группой $C_{2h}^6 C2/c$ [1], обладают достаточно высоким электрическим сопротивлением $\rho \simeq 10^{11}$ – 10^{12} Ω·см при $T = 293$ K и малой концентрацией свободных носителей заряда в запрещенной зоне. Эти кристаллы характеризуются наличием глубоких уровней в запрещенной зоне ($E_g = 2.5$ eV при $T = 293$ K, $E_t = 0.5$ – 0.7 eV) [2], которые обусловлены присутствием структурных дефектов, таких как вакансии, примеси внедрения и дислокации. Существованию таких дефектов приписывается высокая плотность локализованных состояний вблизи уровня Ферми. С этой точки зрения монокристаллы TlInS₂ являются интересным объектом для исследования их в переменных электрических полях.

Исследования электрических свойств, в частности проводимости полупроводниковых материалов в переменных электрических полях, дают информацию о природе процессов переноса заряда, о локализованных состояниях в запрещенной зоне. Такие измерения позволяют определить также диэлектрическую проницаемость, диэлектрические потери, показатель преломления и оптический коэффициент поглощения. Для установления механизма переноса весьма существенно знание частотной зависимости этих параметров. В литературе есть

сведения об исследовании характера частотной дисперсии диэлектрической проницаемости монокристаллов TlInS₂ в радиочастотном диапазоне (10³–10⁷ Hz) при низких температурах (160–230 K) [3], когда основную роль играют релаксационные потери. При комнатной температуре, когда монокристаллы TlInS₂ имеют заметную электропроводность в переменных электрических полях (*ac*-проводимость), основным видом диэлектрических потерь становятся потери на электропроводность. В этом плане слоистые монокристаллы TlInS₂ не изучены.

В настоящей работе приведены результаты изучения электрофизических свойств монокристаллов TlInS₂ в переменных электрических полях.

Монокристаллы TlInS₂ были выращены нами вертикальным методом Бриджмена. Предварительно синтезированные из элементов Tl, In, S высокой степени чистоты поликристаллы TlInS₂ помещались в кварцевую ампулу с зауженным концом, которая после вакуумирования до 10⁻² Pa опускалась с постоянной скоростью в трубчатой печи с градиентом температуры. При этом вначале в печи при температуре 1050 K расплавляли весь исходный TlInS₂. Скорость эффективной кристаллизации TlInS₂ была равна скорости перемещения ампулы и составляла 1–2 mm/h. Жидкий TlInS₂, находящийся в конце ампулы, кристаллизуется в первую очередь и служит затравкой для последующего выращивания монокристалла. Выращенные монокристаллы TlInS₂ имели тетрагональную структуру с параметрами элементарной ячейки $a = 8.0$, $c = 6.7 \text{ \AA}$ и легко скалывались. Они имели длину 50–60 mm, диаметр 16–18 mm и были оранжево-желтого цвета; поверхность монокристаллов с обеих сторон была оптически зеркальной. Фазовый состав и параметры элементарной ячейки определяли на рентгеновском дифрактометре ДРОН-2 в излучении CuK α .

Образцы из TlInS₂ были изготовлены в виде плоских конденсаторов, плоскость которых была перпендикулярна *C*-оси кристалла. В качестве контактного материала была использована притертая алюминиевая фольга. Толщина монокристаллических пластинок TlInS₂ была равна 0.05–0.08 cm, а площадь обкладок составляла 0.80–0.96 cm².

В процессе электрических измерений образец помещался в экранированную измерительную ячейку. Электрическое поле прикладывалось поперек естественных слоев монокристаллов TlInS₂. Амплитуда приложенного переменного электрического поля соответствовала омической области вольт-амперной характеристики образцов из TlInS₂. Измерения проводились в частотной области 10³–3 · 10⁷ Hz. На частотах 10³–10⁶ Hz использовался мост E7-12, а в области частот 4 · 10⁶–3 · 10⁷ Hz измерения были проведены с помощью куметра BM-560. Все измерения проводились при $T = 293$ K.

На рис. 1 приведены экспериментальные результаты изучения зависимости тангенса угла диэлектрических потерь $\operatorname{tg} \delta$ от частоты f в монокристаллических образцах TlInS₂ (кривая 1). Кривая зависимости $\operatorname{tg} \delta(f)$ имела две ветви: спадающую (в частотной области 10³–6.4 × 10⁵ Hz) и возрастающую (в частотной области 6.4 · 10⁵–3 · 10⁷ Hz). Экспериментальные результаты хорошо аппроксимировались следующей эмпирической формулой:

$$\operatorname{tg} \delta = \frac{1.106}{\sqrt{f}} + 5.22 \cdot 10^{-8} f^{0.7}. \quad (1)$$

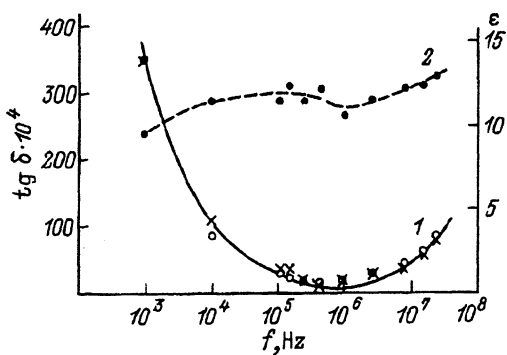


Рис. 1. Зависимости тангенса угла диэлектрических потерь (1) и диэлектрической проницаемости (2) от частоты для образцов монокристаллов TlInS₂ при $T = 293$ К.

Для кривой 1 кружки — экспериментальные данные, крестики — расчет по формуле (1).

Относительная ошибка между расчетными и экспериментальными результатами составляла 4–5%. При $f < 6.4 \cdot 10^5$ Hz $\operatorname{tg} \delta = 1.106f^{-0.5}$, а при $f > 10^6$ Hz $\operatorname{tg} \delta = 5.22 \cdot 10^{-8}f^{0.7}$.

В указанной области частот (10^3 – $3 \cdot 10^7$ Hz) нами измерены также величины электрической емкости образцов из TlInS₂. Минимальное значение емкости наблюдалось при $f = 10^3$ Hz и составляло ~ 10 pF. Максимальную емкость образцы TlInS₂ имели на частоте $f = 3 \cdot 10^7$ Hz ($C_{\max} = 14$ pF).

По значениям емкости образцов TlInS₂ при различных частотах рассчитаны значения диэлектрической проницаемости, которая изменялась от 9.56 до 13.1 (кривая 2 на рис. 1). Эти значения ε в 3–4 раза превышали значения высокочастотной диэлектрической проницаемости, вычисленной из колебательных спектров кристаллов TlInS₂ [4]. Завышенные в 3–4 раза значения ε в частотной области 10^4 – 10^7 Hz по сравнению с высокочастотной диэлектрической проницаемостью, вычисленной из решеточного поглощения, наблюдались также при изучении электрических свойств аналогичных монокристаллов TlInS₂(Se₂) на переменном токе [5]. Большие значения ε в монокристаллах TlInS₂(Se₂) [6] связывают с образованием «хвоста» плотности состояний за счет наличия большого числа собственных дефектов.

Полученные нами значения ε совпадали по порядку величины с низкочастотной диэлектрической проницаемостью ($\varepsilon = 8.5$), вычисленной из колебательных спектров кристаллов TlInS₂ [4].

На рис. 2 представлены экспериментальные результаты изучения частотной зависимости проводимости монокристаллов TlInS₂ при $T = 293$ K. В частотной области 10^3 – 10^5 Hz $\sigma \sim f^{0.5}$, в области 10^5 – 10^6 Hz наблюдался $f^{0.8}$ -закон для проводимости, после чего наклон этой зависимости становился суперлинейным, а при $f = 10^7$ Hz

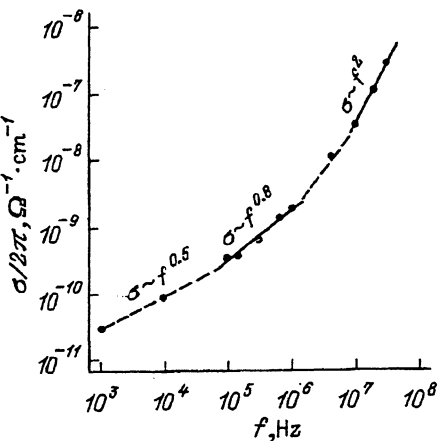


Рис. 2. Частотно-зависимая проводимость монокристаллов TlInS₂ при $T = 293$ К.

и выше наблюдался квадратичный закон $\sigma \sim f^2$. Экспериментальные результаты и полученная зависимость $\sigma \sim f^{0.8}$ свидетельствуют о прыжковом механизме переноса заряда по состояниям, локализованным вблизи уровня Ферми [6]

$$\sigma(f) = (\pi^3 / 96) e^2 k T N_F^2 a^5 f [\ln(\nu_{ph} / f)]^4, \quad (2)$$

где e — заряд электрона, k — постоянная Больцмана, N_F — плотность состояний вблизи уровня Ферми, $a = 1/\alpha$ — радиус локализации, α — постоянная спада волновой функции локализованного носителя заряда $\psi \sim e^{-\alpha r}$, ν_{ph} — фоновая частота.

Выражение (2) позволяет вычислить плотность состояний на уровне Ферми по экспериментально найденным значениям проводимости $\sigma(f)$. Для $TlInS_2$ значение ν_{ph} составляет порядка 10^{12} Hz. Вычисленное по формуле (2) значение N_F при $T = 293$ K и $f = 3.2 \cdot 10^5$ Hz составило $6.5 \cdot 10^{18}$ eV $^{-1} \cdot \text{cm}^{-3}$. Для радиуса локализации взято значение $a = 16$ Å по аналогии с бинарными сульфидами [7].

Согласно теории прыжковой проводимости в переменных электрических полях [6], по формуле

$$\tau^{-1} = \nu_{ph} \exp(-2R\alpha) \quad (3)$$

можно определить среднее время прыжка τ носителя заряда из одного локализованного состояния в другое. В формуле (3) R — среднее расстояние прыжка. Экспериментально τ^{-1} находится как средняя частота, при которой наблюдается $f^{0.8}$ -закон для проводимости. Из полученной нами экспериментальной зависимости $\sigma(f)$ для τ^{-1} взято значение $5 \cdot 10^5$ Hz. Это соответствует тому, что среднее время прыжка составляет $\tau = 2 \mu s$. При этом среднее расстояние прыжка, вычисленное по формуле

$$R = (1/2\alpha) \ln(\nu_{ph} / f), \quad (4)$$

составило $R = 117$ Å.

По формуле [6]

$$(4/3)\pi R^3 N_F (J/2) = 1 \quad (5)$$

оценели разброс ловушечных состояний вблизи уровня Ферми:

$$J = 4 \cdot 10^{-2} \text{ eV.}$$

Интересной особенностью зависимости $\sigma(f)$ является квадратичная область $\sigma \sim f^2$ при $f > 10^7$ Hz. Такого типа проводимость считают обусловленной оптическими переходами в полупроводниках и описывают выражением [6]

$$\sigma(f) = (\pi e^2 / \hbar) N_F^2 a^5 (hf)^2 [\ln(I_0/hf)]^4, \quad (6)$$

где I_0 определяется из соотношения

$$I = I_0 \exp(-R\alpha), \quad (7)$$

I — резонансная энергия двух локализованных центров, удаленных на расстояние R_f друг от друга,

$$R_f = (1/\alpha) \ln(2I_0/hf). \quad (8)$$

Таким образом, оценены плотность состояний вблизи уровня Ферми $N_F = 6.5 \cdot 10^{18} \text{ eV}^{-1} \cdot \text{cm}^{-3}$, разброс ловушечных состояний $J = 4 \cdot 10^{-2} \text{ eV}$, среднее время прыжка $\tau = 2 \mu\text{s}$ и среднее расстояние прыжка $R = 117 \text{ \AA}$.

Список литературы

- [1] Isaacs T.J., Feichther J.D. *J. Sol. Stat. Chem.* **14**, 3, 260 (1975).
- [2] Мустафаева С.Н., Асадов М.М. Материалы IV Всесоюз. симпоз. «Неоднородные электронные состояния». Новосибирск. ИНХ СО АН СССР (4–6 марта 1991). С. 198–199.
- [3] Salaev F.M., Allakhverdiev K.R., Mikailov F.A. *Ferroelectrics* **131**, 1, 163 (1992).
- [4] Сырбу Н.Н., Нойманн Х., Соботта Х., Риде В. *ФТП* **27**, 1, 41 (1993).
- [5] Дарвиш А.М., Бахышов А.Э., Тагиров В.И. *ФТП* **11**, 4, 780 (1977).
- [6] Мотт Н., Дэвис Э. Электронные процессы в некристаллических веществах. М. (1974). 472 с.
- [7] Augelli V., Manfredotti C., Murri R., Piccolo R., Vasanelly L. *Nuovo Cimento*. **B38**, 2, 327 (1977).